

Rh-Cu, Ag, Au

Rh-Cu-Ag-O Schmahl N.G.,  
Minzl F.

1965

metallurgical  
lureka

Z. Physik. Chem.,

- 47, N5-6, 358

(Cu-Cr-Cu-O) I

AgRhCl<sub>6</sub><sup>2-</sup>

ВФ Г-3344)

1966

23 В66. Комплексообразование ионов серебра с гексахлорородиат-ионом. Беляев А. В., Птицын Б. В. «Изв. Сиб. отд. АН СССР», 1966, № 3, сер. хим. н., вып. I, 136—138

Кусі

ΔH

Изучено изменение потенциала хлоросеребряного электрода в р-рах  $K_3RhCl_6$ , приводящее к комплексообразованию ионов  $Ag^+$  с гексахлорородиат-ионом по ур-нию:  $Ag^+ + RhCl_6^{3-} \rightleftharpoons AgRhCl_6^{2-}$ . Из потенциометрич. измерений при ионной силе 0,1 рассчитаны константы устойчивости иона  $AgRhCl_6^{2-}$  при т-рах 25, 35 и 55°, равные соотв.  $4,9 \cdot 10^5$ ;  $1,5 \cdot 10^5$  и  $4,8 \cdot 10^4$ ,  $\Delta H = -16$  ккал/моль. Предполагается, что значительная прочность частицы  $AgRhCl_6^{2-}$  объясняется наличием связи  $Ag-Rh$ .

Реферат авторов

X. 1966.23

Rh - wedm  
- Ag

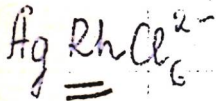
BSP FT-3844 [1966]

Complex formation by silver ions with the hexachlororhodate ion. A. V. Belyaev and B. V. Ptitsyn (Inst. Inorg. Chem., Novosibirsk). *Izv. Sibirskaia Otd. Akad. Nauk SSSR, Ser. Khim. Nauk* 1966(1), 136-8(Russ). Electrochem. potential measurements were made at 25, 35, and 55° in a cell contg.  $K_3RhCl_6$  (I) and 0.1N KCl, using a Ag or silvered Pt electrode. The equil. const. ( $[AgRhCl_6^{2-}]/[Ag^+][RhCl_6^{3-}]$ ) was  $4.9 \times 10^5$  at 35° and  $4.8 \times 10^4$  at 55°. The apparently high temp. dependence of the equil. const. was related to the decompn. of  $(AgRhCl_6)^{2-}$  to give AgCl and  $[RhCl_5(H_2O)]^{2-}$ . The aquation is reflected in the curve of potential vs. time, in which following the addn. of I, the potential falls rapidly to a min., then rises in 2-3 min. to a plateau representing equil. with the aquated anion.

C. H. Fuchsman

C. A. 1966. 65. 6  
8873c

1968



pK

Hydrolysis of potassium hexachlororhodate. A. V. Belyaev and B. V. Ptitsyn. *Zh. Neorgan. Khim.* 11(6), 1345-8(1966) (Russ.). The destruction of  $\text{RhCl}_6^{3+}$  by  $\text{AgNO}_3$  was studied. The equil. consts. are:  $pK_1 = 5.84 \pm 0.05$ ,  $pK_2 = 5.72 \pm 0.05$ ,  $pK_3 = 5.42 \pm 0.05$ , and  $pK_4 = 3.12 \pm 0.05$ . The dissociation consts. of the mono-, di-, and triaquoacids of the Rh complexes at  $55^\circ$  are:  $pK_1' = 7.3 \pm 0.1$ ;  $pK_2' = 0.6 \pm 0.1$ ,  $pK_3' = 4.8 \pm 1$ . A mechanism of ion destruction is proposed, which involves the formation of  $\text{AgRhCl}_5^{2-}$ .

BNJR

C.A. 1966. 65:11

16132cd

VII Cu II O<sub>2</sub>. II<sub>2</sub>=Li, Al, Cr, Ga, Mn, Fe, Cu, Rh. 1969  
VII

Hans H., Konig E.

VI 7019

Z. Kristallogr., 1969, 129, 259-270.

Cu<sup>2+</sup>-haltige Doppeloxide mit  
selteneren Erstmetallen.

14

PX, 45595 (1970). Ml

1969

Cu Rh<sub>2</sub> S<sub>4</sub>

Cu Rh Se<sub>4</sub>

114277h Critical field and specific heat measurements on spinel-type superconductors. Schaeffer, G. M.; Van Maaren, M. H. (Philips Res. Lab., Eindhoven, Neth.). *Proc. Int. Conf. Low Temp. Phys.*, 11th 1968 (Pub. 1969), 2, 1033-6, 1051 (Eng). Edited by Allen, J. F. Organ. Comm.: St. Andrews, Scot. Magnetization and sp. heat measurements were carried out on the spinel-type superconductors CuRh<sub>2</sub>S<sub>4</sub> and CuRh<sub>2</sub>Se<sub>4</sub>. Magnetization curves were sensitive to variations in sample prepn. The values of  $H_c(0)$  (1200 and 1500 Oe for CuRh<sub>2</sub>S<sub>4</sub> and CuRh<sub>2</sub>Se<sub>4</sub>, resp.) are much higher than those deduced from sp. heat measurements, 630 and 400 Oe, resp. The latter values agree with that predicted by the Bardeen-Cooper-Schrieffer theory. The reason for the high d. of states estd. ( $N(E_f) = 12.6$  and  $11.3 \text{ eV}^{-1}$  for CuRh<sub>2</sub>S<sub>4</sub> and CuRh<sub>2</sub>Se<sub>4</sub>, resp.) is not conclusive.

S. K. Ramalingam

CP. 1970. V3. dd

Rhftu X-9224

1975

Cocke D.L; et al.

(70) High Temperature Sci.,  
1975, 7, 61-73

Atomization Energies of gaseous...

(b<sub>1</sub>)

70318.422

Ch

70242  
[Rh(NH<sub>3</sub>)<sub>5</sub>I<sub>2</sub>O<sub>2</sub>]<sup>+</sup>

[Rh(NH<sub>3</sub>)<sub>5</sub>I<sub>2</sub>O<sub>2</sub>]<sup>+</sup> (K<sub>3</sub>Fe(CN)<sub>6</sub>)

11-3665

Lalor G.Q., Miller H.

1976

Complex formation between iodopentaammine-rhodium (III) perchlorate and silver in aqueous solution." Rev. latinoamer. quím.", 1976, 7, № 3-4, 102-106

(англ., рез. исп.)

0834 ник

С  
В

800 803 825

ВИНИТИ

$\text{CuRh}_2\text{S}_4$

1976

Shelton R.W.

Solid State Commun.

1976, 20(11) 1077-80 (eng)

(au Cu Rh<sub>2</sub> S<sub>4</sub>; I)

# Межвузовский состав 1976.

RhCu

7 Е382. Термоемкость сплавов Rh—Cu при низких температурах. Viswanathan R., Khan H. R., Raub Ch. J. Low temperature heat capacity of Rh—Cu alloys. «J. Phys. and Chem. Solids», 1976, 37, № 4, 431—432 (англ.)

Измерение теплоемкости однофазных ОЦК-сплавов Rh—Cu проведены в интервале т-р 2—15° К методом периодич. нагрева лазерным излучением. Вычислено, что коэф. электронной теплоемкости у быстро уменьшается с увеличением конц-ии Cu до 20 ат.%, остается постоянным до ~60 ат.% Cu и затем слабо уменьшается. Полученные результаты объясняются началом частичного заполнения  $d$ -уровней и последующим переходом электронов проводимости на  $s$ -уровни. Обсуждаются причины аномального поведения т-ры Дебая и микротвердости.

9. 1976

№

$CuRh_2Se_4$

$CuRh_2Se_4$

$CuRh_2Te_4$

Межевской 10. д.

1977

нагр.

79. Весенний нагр.  
но распорядител.

(SHF) Раевск. мезасел  
горы. Июнь, 1977(1)

10-13.

(см. Cu<sub>2</sub>Se; I)

1978

CuRh<sub>2</sub>S<sub>4</sub>

met. eng.  
cb - ba

Rozantsev H. V., et al  
Izv. Akad. Nauk SSSR  
Neorg. Mater. 1978,  
14(7), 1253-6

(Cf. FeRh<sub>2</sub>S<sub>4</sub>; ?)

ctg Rh O<sub>2</sub>

1981

Кузенок У.Б., 40р.

Узб. АН СССР Геомаг.  
Бишкек, 1981, № 11,  
140-44

167

евг. Ag Cr O<sub>2</sub>-I

Ciechneria

1984.

Au - Rh

104: 73135y The gold-rhodium system. Okamoto, H.; Mussalski, T. B. (Carnegie-Mellon Univ., Pittsburgh, PA USA). *Bull. Alloy Phase Diagrams* 1984, 5(4), 384-7, 415-16 (Eng). The equil. phase diagram was assessed based on the literature data and the thermodynamic anal. of the system. The diagram indicates the monotectic and the peritectic transformations at 1885 and 1068°, resp. The max. solid solvs. are 1.6 Rh in Au and 0.5 at.% Au in Rh.

original  
recapitulation

c.A.1986, 104, n10

$Cu_2 Rh_2 O_5$   
 $Cu Rh_2 O_4$

1986

14 Б3071 Деп. Новые фазы в системах  $Rh_2O_3-CuO$  и  $Rh_2O_3-CoO_{4/3}$ . Кахан Б. Г., Лазарев В. Б., Шаплыгин И. С.; Ин-т общ. и неорган. химии АН СССР. М., 1986. 8 с., ил. Библиогр. 10 назв. Рис. (Рукопись деп. в ВИНИТИ 4.03.86, № 1452-В)

Методами ДТА, РФА и ТГ на воздухе проведено исследование фаз, образующихся в системах  $Rh_2O_3-CuO$  и  $Rh_2O_3-CoO_{4/3}$ . Установлено образование соединения  $Cu_2Rh_2O_5$  и наличие непрерывного ряда тв. р-ров между  $CoRh_2O_4$  и  $CoO_{4/3}$ . Определены т-ры начала разл. для  $CuRh_2O_4$  ( $1110 \pm 10^\circ C$ ),  $Cu_2Rh_2O_5$  ( $1130 \pm 10^\circ C$ ) и для тв. р-ров  $Co[Co_{2-t}Rh_t]O_4$  изменяющиеся от  $1195 \pm 10^\circ C$  ( $CoRh_2O_4$ ) до  $920 \pm 10^\circ C$  ( $CoO_{4/3}$ ). Автореферат

$T_{E2}$

X. 1986, 19, n 14

Ag - Rh

1986

106: 144854m The silver-rhodium system. Katakaya, I.; Thompson,  
W. T. (Dep. Chem. Chem. Eng., R. Mil. Coll. Canada, Kingston, ON  
Can. K7L 2W3). *Bull. Alloy Phase Diagrams* 1986, 7(4), 362-5,  
391-2 (Eng). An estd. phase diagram is presented. The phase  
boundaries were established on the basis of a simple thermodyn.  
model. A eutectic is reported at  $\sim 960^\circ$  for <1 at.% Rh. Phase  
diagrams and estd. boundaries for the vapor phase are presented also  
for different hydrostatic pressures (101.33 to  $101.33 \times 10^6$  kPa).  
Heats of mixing are estd. for the liq. phase.

Smix H,  
gasf. quars.

C.A. 1987, 106, n18

(Om. 25579)

1987

$\text{LiRh}_2\text{O}_4(\text{K})$

Казах СР, Назарев В.Б.  
и др.,

получение,

$P_{T_2}$

Ж. неорг. химии,  
1987, 32, № 1, 229-230.

*CoRh<sub>2</sub>O<sub>4</sub>*

*1987*

12 Б3103. Взаимодействие оксидов родия и кобальта на воздухе. Кахран Б. Г., Шаплыгин И. С. «Ж. неорган. химии», 1987, 32, № 3, 707—798

С помощью РФА и термич. анализа изучено взаимодействие оксида родия Rh<sub>2</sub>O<sub>3</sub> (ромбич. модификация) с оксалатом кобальта (2+) и оксидом Co<sub>3</sub>O<sub>4</sub> на воздухе. Установлено, что шпинельная фаза CoRh<sub>2</sub>O<sub>4</sub> образует кубич. тв. р-ры с Co<sub>3</sub>O<sub>4</sub>, параметр решетки к-рых монотонно уменьшается с  $a$  8,504 Å для чистого CoRh<sub>2</sub>O<sub>4</sub> до  $a$  8,083 Å (Co<sub>2</sub>O<sub>4</sub>). Термич. устойчивость тв. р-ров на основе шпинельной фазы также монотонно понижается в этом же направлении. Из резюме

*X. 1987, 19, N 12.*

CuRh<sub>2</sub>O<sub>4</sub> (O.M. 28936) 1987

Murthy K.S.R., Ghose J.,

REEMPO

CONSTITUTION & SOLID STATE CHEM.)

Tet 1987, 71, N2, 441-443.

F: Cu-Rh-O

1999

P: 1

131:219678 System Cu-Rh-O: phase diagram and thermodynamic properties of ternary oxides CuRhO<sub>2</sub> and CuRh<sub>2</sub>O<sub>4</sub>. Jacob, K. T.; Okabe, T. H.; Uda, T.; W Y. Research Center for Metallurgical Process Engineering, Institute for Advanced Materials Processing, Tohoku University Sendai 980-8577, Japan Bull. Mater. Sci., 22(4), 741-749 (English)

1999 An isothermal section of the phase diagram for the system Cu-Rh-O at 127 K has been established by equilibration of samples representing eighteen different compns., and phase identification after quenching by optical el microscopy and SEM, X-ray diffraction (XRD), and energy dispersive anal. rays (EDX). In addn. to the binary oxides Cu<sub>2</sub>O, CuO, and Rh<sub>2</sub>O<sub>3</sub>, two tern oxides CuRhO<sub>2</sub> and CuRh<sub>2</sub>O<sub>4</sub> were identified. Both

ternary oxides were in e with metallic Rh. There was no evidence of the oxide Cu<sub>2</sub>Rh<sub>2</sub>O<sub>5</sub> reported i literature. Solid alloys were found to be in equil. with Cu<sub>2</sub>O. Based on phase relations, two solid-state cells were designed to measure the Gibbs energies of formation of the two ternary oxides. Yttria-stabilized zirco used as the solid electrolyte, and an equimolar mixt. of Rh + Rh<sub>2</sub>O<sub>3</sub> as th electrode. The ref. electrode was selected to generate a small emf, and minimize polarization of the three-phase electrode. When the driving for oxygen transport through the solid electrolyte is small, electrochem. flu oxygen from the high oxygen potential electrode to the low-potential elec is negligible. The measurements were conducted in the temp. range from 9 1300 K. ~~thermodn.~~ data can be represented by the follow:~~ing~~ equations Cu<sub>2</sub>O + 1/2 Rh<sub>2</sub>O<sub>3</sub> .fwdarw. CuRhO<sub>2</sub>, .DELTA.(ox)G.degree./J mol-1 = -18,040 0.975 T/K (.+- .40), CuO + Rh<sub>2</sub>O<sub>3</sub> .fwdarw. CuRh<sub>2</sub>O<sub>4</sub>, and .DELTA.f(ox)G.degree. mol-1 = -23,760 + 1.92 T/K (.+- .325), where .DELTA.f(ox) degree. is the Gibbs energy of formation of the inter' de compds. from their component oxides. Based on t<sup>he</sup> ~~hermodn.~~ information, chem. potential diagrams for system Cu-Rh-O were developed.